

اثر دما و تنش خشکی بر ویژگی‌های جوانهزنی و دماهای کاردینال علف‌هرز مهاجم شمعدانی (*Geranium robertianum*) وحشی

عبدالله جلیلی: دانشجوی دکتری علوم علفهای هرز مشهد، گروه آگروتکنولوژی، دانشگاه فردوسی مشهد پست الکترونیک: aliliabdollah@gmail.com

دکتر ابراهیم ایزدی دربندی: استاد، گروه آگروتکنولوژی، دانشگاه فردوسی مشهد نویسنده مسئول: ابراهیم ایزدی دربندی: e-izadi@um.ac.ir

دکتر مهدی راستگو: استاد، گروه آگروتکنولوژی، دانشگاه فردوسی مشهد پست الکترونیک: m.rastgoo@um.ac.ir شناسه ارکید: 0000-0002-1974-8727

دکتر اسماعیل ابراهیمی: جهاد کشاورزی شهرستان قوچان پست الکترونیک: eebrahimi98@gmail.com

چکیده

به منظور بررسی تاثیر دما و تنش خشکی بر جوانهزنی بذر علف‌هرز شمعدانی وحشی (*Geranium robertianum*) آزمایشی به صورت فاکتوریل در قالب طرح کاملاً تصادفی با ۸ سطح دمای ثابت (۱۰، ۱۵، ۲۰، ۲۵، ۳۰، ۳۵، ۴۰ درجه سانتی گراد) و ۶ سطح تنش خشکی (۰، ۰/۲، ۰/۴، ۰/۶، ۰/۸، ۰/۱) در ۴ تکرار انجام شد. برای اعمال تنش خشکی از پلی اتیلن گلایکول ۶۰۰۰ استفاده شد. در این آزمایش، از پتری‌دیش‌های حاوی کاغذ صافی واتمن با قطر ۷ سانتی‌متر استفاده و در هر پتری ۲۵ بذر قرار گرفت. سپس پتری‌دیش‌ها در ژرمیناتور در معرض تیمارهای دمایی ذکر شده و رژیم روشنایی (۱۴ ساعت روشنایی ۲۵۰ میکرومول بر مترمربع بر ثانیه) قرار گرفتند. برای تحلیل نتایج آزمایش از شاخص‌هایی مانند درصد، سرعت جوانهزنی و مدت زمان رسیدن به ۵۰ درصد جوانهزنی استفاده شد. برای تعیین دمای کاردینال از مدل رگرسیونی دندانهای استفاده شد. نتایج نشان داد که شمعدانی وحشی در دمای ثابت ۲۰ درجه سانتی گراد دارای بیشترین درصد (۹۸ درصد) و سرعت جوانهزنی (۰/۱۹ بذر در روز) در شرایط بدون تنش (پتانسیل آب صفر) بود. همچنین در دماهای ۳۵ و ۴۰ درجه سانتی گراد جوانهزنی متوقف شد. مدل رگرسیونی سه پارامتره از دقت خوبی جهت توصیف روند درصد جوانهزنی تجمعی شمعدانی برخوردار بود. بر اساس نتایج آزمایش با افزایش تنش خشکی (تا ۰/۸ - ۰/۱۲ - ۰/۱۶ - ۰/۲۰ - ۰/۲۶ - ۰/۳۰ - ۰/۳۶ درجه سانتی گراد) جوانهزنی متوقف شد. در پتانسیل صفر (شرایط بدون تنش) دمای کمینه، بهینه اول، بهینه دوم و بیشینه به ترتیب ۱/۱۲، ۱/۱۳، ۱/۱۴ و ۳۵/۰۹ درجه سانتی گراد تعیین شد و با افزایش پتانسیل اسمزی تا ۰/۸ - ۰/۱۲ - ۰/۱۶ - ۰/۲۰ - ۰/۲۶ - ۰/۳۰ - ۰/۳۶ درجه سانتی گراد، دماهای بهینه اول از ۱/۱۲ تا ۱/۱۴ درجه سانتی گراد تعیین شد و دمای کمینه از ۱/۱۲ به ۱/۱۷ درجه سانتی گراد تغییر یافت. با توجه به نتایج آزمایش، جوانهزنی شمعدانی وحشی در محدوده‌های دمایی ۱۷ تا ۲۲ درجه سانتی گراد متحمل به تنش‌های خشکی متوسط (۰/۶ - ۰/۱۲ - ۰/۱۶ - ۰/۲۰ - ۰/۲۶ - ۰/۳۰ - ۰/۳۶ درجه سانتی گراد) می‌باشد. به طور کلی، با توجه با پایین بودن دمای کمینه، احتمال جوانهزنی و طغیان این علف‌هرز در فصول سردتر، بیشتر خواهد بود و با توجه به کاهش جوانهزنی به تنش خشکی، می‌توان کاشت گیاهان زراعی متحمل به خشکی را در برنامه‌های مدیریتی قرار داد.

واژه‌های کلیدی: دمای بهینه، سرعت جوانهزنی، مدل دندانهای.

حضور گیاهان خارجی غیربومی به عنوان گیاهان مهاجم به نواحی جدید اهمیت زیادی دارد و یکی از چالش‌های مهم جهانی است (Zhou *et al.*, 2006). خانواده شمعدانی با دارا بودن علف‌های هرز یکساله و چندساله از خانواده‌های گیاهی است که به خصوص در نواحی معتدل‌له و گرمسیری جهان پراکنش دارند. این خانواده دارای ۷ جنس و ۷۵۰ گونه می‌باشد (Keshavarzi *et al.*, 2013). در سال‌های اخیر علف‌هرز شمعدانی برگ‌بریده (*Geranium dissectum*) در مزراع کلزا در استان مازندران و گلستان مهاجم شده است (Sohrabi *et al.*, 2017). بذر این علف‌هرز دارای خواب فیزیکی بوده و خراش‌دهی، قرار گرفتن در عمق خاک و گذشت زمان در رفع خواب آن موثر می‌باشد (Sohrabi *et al.*, 2017). با این حال گونه دیگر از این جنس با نام علمی *Geranium robertianum* نیز در مزراع کلزا استان گلستان مشاهده شده است، اما اطلاعات چندانی در مورد زیست‌شناسی آن وجود ندارد.

جوانه‌زنی مرحله‌ای بحرانی در زیست‌شناسی و چرخه زندگی گیاهان و علف‌های هرز است و اغلب پویایی جمعیت را کنترل می‌کند (Kamkar *et al.*, 2008). این فرایند فیزیولوژیکی تحت تاثیر عوامل مختلفی مانند دما، رطوبت و نور قرار می‌گیرد که در این میان دما تاثیر مهمی دارد (Kamkar *et al.*, 2012). پی بردن به الگوی جوانه‌زنی و سبیشدن گونه‌های مختلف علف‌هرز می‌تواند اطلاعات جامعی برای توسعه روش‌های مدیریت علف‌هرز در آینده فراهم کند (Chauhan *et al.*, 2006). دما مهم‌ترین عاملی است که سرعت نمو گیاهان و علف‌های هرز (از جمله سرعت جوانه‌زنی) را تحت تاثیر قرار می‌دهد. اثرات دما روی نمو گیاهان، اساس مدل‌های مورد استفاده برای پیش‌بینی زمان جوانه‌زنی است (Kamkar *et al.*, 2012). دما، از عوامل موثر بر ویژگی‌های جوانه‌زنی مانند شروع، مقدار و سرعت جوانه‌زنی می‌باشد. از این رو، دما عامل بسیار مهمی بر استقرار گیاهان است (Bradford, 2002; Jami-AlAhmadi, and Kafi, 2007). دمای کمینه^۱، دمای بهینه^۲ و دمای بیشینه^۳ سه دمای اصلی فرایند جوانه‌زنی هستند. دماهای کمینه (دمای پایه) و بیشینه (دمای سقف)، دماهایی هستند که به ترتیب کمتر و بیشتر از آن‌ها جوانه‌زنی اتفاق نمی‌افتد، درحالی که دماهای بهینه دمایی است که در آن سرعت جوانه‌زنی به بیشترین میزان خود می‌رسد (Alvarado, and Bradford, 2002). شناسایی دماهای کاردينال جوانه‌زنی، یکی از نیازمندی‌های اصلی برای کنترل به موقع علف‌های هرز است، چرا که توانایی پیشگویی زمان خروج گیاهچه‌های علف‌های هرز می‌تواند در تعیین زمان مطلوب عملیات کنترل علف‌های هرز، توسعه کارایی روش‌های کنترل، کاهش استفاده از علف‌کش از طریق مدیریت تلفیقی علف‌های هرز موثر باشد (Buhler, 2000). محاسبه دماهای کاردينال جوانه‌زنی بر طبق ترسیم روند سرعت جوانه‌زنی در مقابل دما روشنی مرسوم به حساب می‌آید (Kiyani, 2013). پژوهش‌های زیادی در زمینه برآورد دماهای کاردينال جوانه‌زنی بذر علف‌های هرز انجام شده است. برای نمونه، نتایج تحقیقی به منظور تعیین درجه حرارت‌های کاردينال جوانه‌زنی چندین گونه علف‌هرز نشان داد که برای هویج وحشی (*Daucus carota* L.) دمای پایه (۱/۶۷)، دمای بهینه (۲۲/۸۴)، دمای بیشینه (۴۳/۱۶)، برای گندمک (*Stellaria media* (L.) Vill.) دمای پایه (۳/۵۸)، بهینه (۱۸/۸۲-۱۹/۶۷)، بیشینه (۴۲/۷۵)، برای دم روپا بهی زرد (*Setaria glauca* (L.) P. Beauv.) دمای پایه (۱۴/۱۷)، بهینه (۳۳/۷۵-۳۴/۹۲)، بیشینه (۴۴/۸۶) و برای دم اسب (*Conyza canadensis* (L.) Cronq.) (دمای پایه ۱۳/۷۴، بهینه ۳۱/۹۴)، بیشینه (۴۴/۲۱) درجه سانتی‌گراد بود (Diayanat, 2019). همچنین، دمای پایه، بهینه و بیشینه گونه‌ای خشخاش (*Papaver somniferum* L.) در

¹ Base Temperature

² Optimum Temperature

³ Ceiling Temperature

آزمایش دیگری، دمای پایه، بهینه و حداقل علف‌هرز نیلوفریچ (*Ipomoea triloba* L.) به ترتیب ۹، ۲۱ و ۲۷ درجه سانتی‌گراد برآورد شده است (Rizzardi et al., 2009). به منظور تعیین درجه حرارت‌های کاردینال جوانه‌زنی علف‌هرز جارو (*Bassia scoparia* L.) عنوان شده است که این گیاه در دامنه وسیعی از دمای ۳/۵ درجه سانتی‌گراد (دمای کمینه) تا ۵۰ درجه سانتی‌گراد (دمای بیشینه) قادر به جوانه‌زنی می‌باشد و دمای بهینه جوانه‌زنی آن ۲۴ درجه سانتی‌گراد گزارش شده است (Jami-Al_Ahmadi, and Kafi, 2007).

با توجه به اهمیت پراکنش گیاه مهاجم شمعدانی وحشی در مزارع کلزا استان مازندران و گلستان و از آنجایی که اطلاعاتی در خصوص ویژگی‌های جوانه‌زنی و دماهای کاردینال این گیاه مهاجم در دسترس نمی‌باشد، این مطالعه با هدف بررسی جنبه‌هایی از ویژگی‌های جوانه‌زنی بذر شمعدانی وحشی (*Geranium robertianum*) تحت تاثیر دما و تنفس خشکی و تعیین دماهای کاردینال جوانه‌زنی آن انجام شده است.

مواد و روش‌ها

این آزمایش به صورت فاکتوریل در قالب طرح کاملاً تصادفی با ۸ سطح دمای ثابت (۵، ۱۰، ۱۵، ۲۰، ۲۵، ۳۰، ۳۵، ۴۰ درجه سانتی‌گراد) و تنفس خشکی در ۶ سطح (۰/۲۰، -۰/۰۶، -۰/۰۴، -۰/۰۸) در ۴ تکرار انجام شد. بذرها از یک مزرعه کلزا واقع در استان گلستان جمع‌آوری و به آزمایشگاه منتقل و به مدت ۶ ماه در یخچال (۴ درجه سانتی‌گراد) نگهداری شدند. آزمایش‌های مقدماتی حاکی از عدم وجود خواب بذر بعد از ۶ ماه بود. برای شروع آزمایش، بذرها به مدت ۱ دقیقه با محلول ۵ درصد هیپوکلریت سدیم ضدغونه و سپس با آب مقطر شسته شدند. در این آزمایش، از پتریدیش‌هایی حاوی کاغذ صافی و اتمن با قطر ۷ سانتی‌متر استفاده و در هر پتری ۲۵ بذر قرار گرفت. پتریدیش‌ها در ژرمیناتور در معرض تیمارهای دمایی ذکر شده و رژیم روشنایی (۱۴ ساعت روشنایی ۲۵۰ میکرومول بر مترمربع بر ثانیه) قرار گرفتند. در طی آزمایش، کاغذ صافی درون پتریدیش‌ها روزانه با آب مقطر، مرطوب نگه داشته شد. جوانه‌زنی به صورت روزانه تا ۱۴ روز شمارش و معیار جوانه‌زنی خروج قابل رویت ریشه‌چهها (کمتر از یک میلی‌متر) پوشش بذر بود (Deng, and Cornu, 1992).

پتانسیل‌های مختلف آب براساس فرمول میچل و کافمن و با استفاده از پلی اتیلن گلایکول ۶۰۰۰ تهییه و برای سطوح تنفس خشکی شاهد نیز از آب مقطر استفاده شد. به منظور تهییه پتانسیل‌های مختلف اسمزی از معادله ۱ استفاده شد (Michel and Kaufmann, 1973).

$$\Psi = - (1.18 \times 10 - 2) C - (1.18 \times 10 - 4) C^2 + (2.67 \times 10 - 4) CT + (8.39 \times 10 - 7) C^2 T \quad (1)$$

در این معادله Ψ پتانسیل اسمزی، C مقدار پلی اتیلن گلایکول بر حسب گرم بر لیتر و T دما بر حسب درجه سانتی‌گراد می‌باشد. در کلیه تیمارهای دمایی برای هر تکرار منحنی درصد جوانه‌زنی تجمعی در مقابل زمان (روز) ترسیم و مدل رگرسیونی سه پارامتره لجستیک (معادله ۲) برآش داده شد.

معادله (۲):

$$G = G_{max} / (1 + (X/X_{50})^b)$$

در این معادله، G : درصد جوانه‌زنی، G_{max} : حداکثر درصد جوانه‌زنی، X_{50} : زمان رسیدن به ۵۰ درصد جوانه‌زنی، b : شیب معادله و X : زمان می‌باشد.

سرعت جوانهزنی (GR) نیز به روش ماگویر (Maguire, 1962) و با استفاده از معادله ۳ محاسبه گردید.
معادله (۳):

$$3 \quad GR = \sum_{i=1}^n Ni/Ti$$

در این معادله Ni تعداد بذور جوانهزده در هر شمارش و Ti تعداد روز شمارش تا روز n بود.

برای تعیین دماهای کاردینال از مدل رگرسیونی مدل دندانهای (Dent-like) (Torabi, 2003) برای رابطه بین دما و سرعت جوانهزنی (بذر در روز) استفاده شد (معادله ۴).

معادله (۴):

$$8 \quad T \leq To_1 < f(T) = ((T - Tb) / (To_1 - Tb)) \text{ if } Tb$$

$$9 \quad T \leq T < f(T) = ((Tc - T) / (Tc - To_2)) \text{ if } To_2$$

$$10 \quad \text{if } To_1 < T \leq To_2 \quad f(T) = 1$$

$$11 \quad \text{if } T \leq Tb \text{ or } T \geq Tc \quad f(T) = 0$$

در این مدل، $f(T)$: سرعت جوانهزنی، T_b دمای پایه، T_{01} دمای بهینه اول، T_{02} دمای بهینه دوم و T_c : دمای بیشینه می باشند. جهت تحلیل نتایج حاصل، آنالیز واریانس داده های حاصل و مقایسه میانگین ها بر اساس آزمون کمترین اختلاف معنی دار (FLSD) در سطح احتمال ۵ درصد با استفاده از نرم افزار آماری مینی تب ۱۸/۱ انجام شد. برای برآش مدل های جهت تعیین دماهای کاردینال جوانهزنی از نرم افزار Sigma plot 12.5 و برای رسم نمودارها از نرم افزار اکسل ۲۰۱۹ استفاده شد.

نتایج و بحث

اثر دما و تنفس خشکی بر صفات جوانهزنی (درصد و سرعت جوانهزنی)

براساس نتایج آزمایش، تاثیر دما، پتانسیل آب و اثر متقابل آنها بر خصوصیات جوانهزنی شمعدانی وحشی معنی دار ($P \leq 0.0001$) بود (جدول ۱). بیشترین درصد جوانهزنی ۹۸ درصد (شمعدانی وحشی در دمای ۲۰ درجه سانتی گراد و پتانسیل اسمزی صفر مشاهده شد که با دمای ۱۵ درجه اختلاف معنی دار آماری نداشت (شکل ۱). کمترین درصد جوانهزنی ۵ درصد) نیز در دمای ۳۰ درجه سانتی گراد و پتانسیل اسمزی ۸/۰-۰ مگاپاسکال حاصل شد. در دمای ۳۵ و ۴۰ درجه سانتی گراد در تمام پتانسیل های اسمزی درصد جوانهزنی متوقف شد (شکل ۱). در پتانسیل اسمزی ۱-۰ مگاپاسکال، در هیچ کدام از دماهای جوانه زنی مشاهده نشد (شکل ۱). نتایج تحقیقات بر روی علف هرز تلخه بیان (*Sophora alopecuroides* L.) نشان داد که این علف هرز تا تنفس خشکی ۶/۰-۰ مگاپاسکال دارای جوانهزنی مشابه شاهد، اما با افزایش خشکی درصد جوانهزنی از ۷۰ درصد به ۳۲ درصد در تنفس خشکی ۱-۰ مگاپاسکال رسید (Nosratti, et al., 2017). به طور کلی بر اساس مطالعات انجام شده، دمای مناسب جوانهزنی برای بیشتر بذرها بین ۱۵ تا ۳۰ درجه سانتی گراد، حداقل دما برای بیشتر گونه ها بین ۳۰ تا ۴۰ درجه سانتی گراد است. هر چند در درجه حرارت های بالاتر از ۵۰ درجه سانتی گراد عمل جوانهزنی در بذرها متوقف می شود (Hejazi, 1994). در خصوص توقف جوانهزنی در دماهای بالاتر، این احتمال وجود دارد که در دماهای بالاتر فعالیت های متابولیکی بذر

از جمله فعالیت آنزیم‌های مربوط به جوانهزنی متوقف گردد (Taassob-Shirazi et al., 2013). همچنین اعتقاد بر این است که توقف جوانهزنی در دمای حداقل، می‌تواند بدلیل تغییر در پروتئین‌های ضروری جوانهزنی باشد (Copeland, and Mc Donald, 1995).

جدول ۱. تجزیه واریانس اثرات دما و پتانسیل آب بر درصد و سرعت جوانهزنی شمعدانی وحشی (*Geranium robertianum*)
Table 1. Analysis of variance the effect of temperature and water potential on the percentage and germination rate of Herb-robert *Geranium robertianum*

منابع تغییر Source of variation	درجه آزادی Degree of freedom	میانگین مربعات Mean of square	
		درصد جوانهزنی Germination percentage	سرعت جوانهزنی Germination rate
دما Temperature	7	1835.18**	51.60**
خشکی Drought	5	11836.6**	23.57**
دما × خشکی Temperature× Drought	35	1113.6**	3.15**
خطا Error	144	15.8	0.041
کل Total	191		
ضریب تغییر C.V (%)		22.76	19.54

** معنی‌داری در سطح احتمال یک درصد

** significant difference at 1% level

نتایج تحقیق دیانت (Diayanat, 2018) بر روی تاج خروس سبز (*Amaranthus viridis* L.) و تاج خروس خوابیده (*Amaranthus blitoides* S.Watson) نشان داد که تاج خروس خوابیده در پتانسیل ۱- ۹/۲۵ مگاپاسکال، درصد ولی تاج خروس سبز قادر به جوانهزنی نبود. این مهم نشان‌دهنده تحمل بالاتر تنفس خشکی در تاج خروس خوابیده است. نامبردگان گزارش کردند که با توجه به تحمل بالاتر تاج خروس خوابیده به تنفس خشکی، احتمالاً پتانسیل تهاجم بیشتری نیز نسبت به تاج خروس سبز به مناطق خشک دارد. در گزارشی دیگر جوانهزنی خاکشیر تلخ (*Sisymbrium irio*) تا پتانسیل اسمزی ۱-۱/۲ مگاپاسکال ادامه داشت (Ray et al., 2005). نتایج مطالعه چجارا و همکاران (Chejara et al., 2008) بر روی

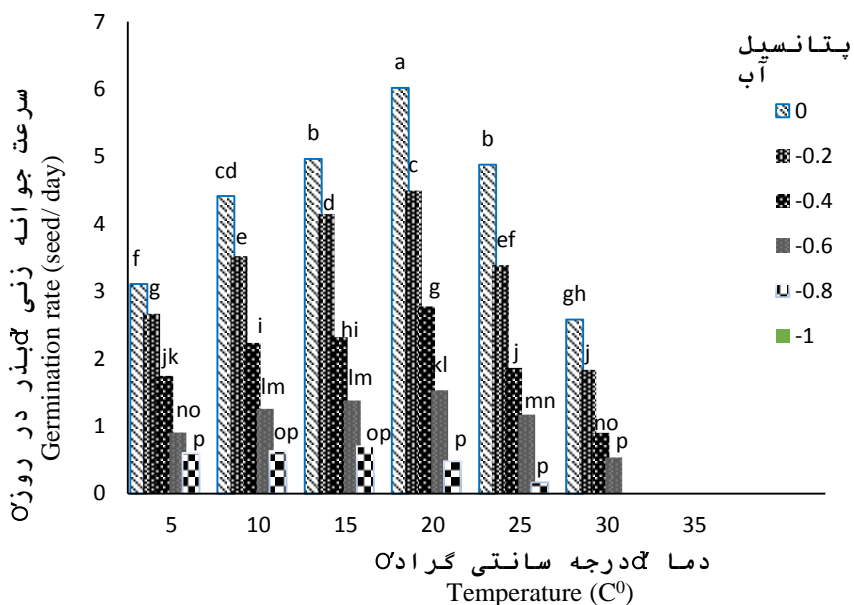
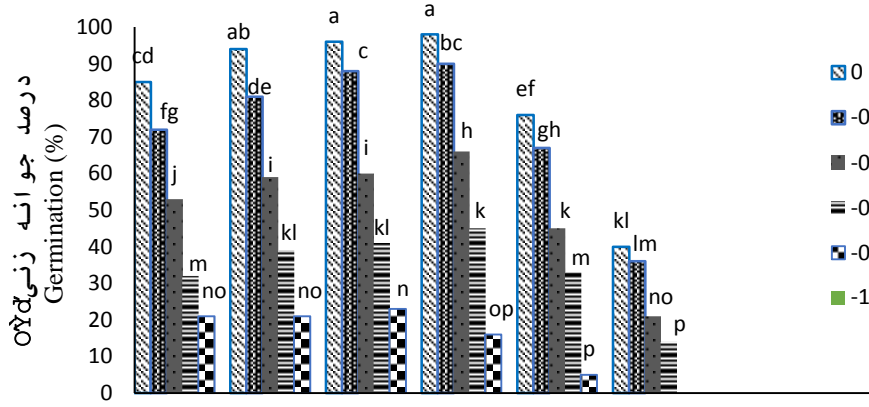
۱ نشان داد که جوانهزنی بذور در پتانسیل اسمزی ۵۵/۰- مگاپاسکال و بیشتر از آن متوقف شد. به
۲ طوریکه در پتانسیل اسمزی ۳۷/۰- مگاپاسکال به ۵۰ درصد کاهش یافت. کاهش درصد جوانهزنی در پی افزایش پتانسیل
۳ اسمزی محیط کشت در بذور گیاهان مختلف توسط محققان دیگری نیز گزارش شده است (Ashraf and Harris, 2004; Chachalis and Reddy, 2000; Amayun et al., 2010
۴ در مطالعه‌ای بیشترین درصد جوانهزنی بذر نیلوفریچ (Oliveira and Norsworthy, 2006) در دمای ۲۰ و ۲۵ درجه سانتی‌گراد گزارش شده است (Ipomoea lacunose L.)
۵ Riemens Scheepens (et al., 2004) نیز مشاهده کردند که بیشترین درصد جوانهزنی در گونه‌ای ساق ترشک (Rumex)
۶ در محدوده دمایی ۲۰ تا ۲۵ درجه سانتی‌گراد مشاهده شده است. در کنجد شیطانی (Cleome viscosa L.) (obtusifolius
۷ نیز بیشترین درصد جوانهزنی در پتانسیل‌های ۱/۰-تا ۱- مگاپاسکال، در دمای ۳۰ درجه سانتی‌گراد مشاهده شد (Shirdel
۸ et al., 2016).
۹

۱۰ نتایج نشان داد که بیشترین سرعت جوانهزنی شمعدانی وحشی (۱/۰ بذر در روز) در دمای ۲۰ درجه سانتی‌گراد و عدم تنفس
۱۱ خشکی (آب مقطر) مشاهده شد که اختلاف معنی‌دار با سایر تیمارها داشت (شکل ۱). کمترین سرعت جوانهزنی (۱/۶ بذر در
۱۲ روز) نیز در دمای ۳۰ درجه سانتی‌گراد و پتانسیل اسمزی ۸/۰- مگاپاسکال مشاهده شد (شکل ۱). با توجه به نتایج آزمایش،
۱۳ سرعت جوانهزنی با افزایش دما از ۵ درجه به ۲۰ درجه سانتی‌گراد روند افزایشی و از دمای ۲۰ تا ۴۰ درجه سانتی‌گراد روند
۱۴ کاهشی داشت (شکل ۱). در مطالعه‌ای بر روی *Medicago scutellata* L. گزارش شد که بذرهای این گیاه در دمای کمتر
۱۵ از دمای مطلوب (۲۲/۲۲ درجه سانتی‌گراد)، جوانهزنی خود را دیرتر شروع می‌کنند و در دماهای بیشتر از دمای مطلوب، دیرتر
۱۶ جوانهزنی خود را به پایان می‌رساند (Mahmoodi et al., 2008). نتایج تحقیقات مختلف نشان داده است که در گیاهان
۱۷ مختلف با نزدیک شدن به دمای مطلوب، حداکثر جوانهزنی افزایش و با فاصله گرفتن از آن، حداکثر جوانهزنی کاهش می‌
۱۸ یابد (Zahed et al., 2013)، در گل گندم زرد (*Centaurea solstitialis*) نیز سرعت جوانهزنی نهایی با افزایش تنفس
۱۹ خشکی از ۴/۰- مگاپاسکال به ۶/۰- مگاپاسکال، از ۱۳/۴۹ به ۳ بذر در روز کاهش یافته است (Zare et al., 2021).
۲۰ تنفس خشکی قابلیت دسترسی به آب را کاهش می‌دهد و اثر نامطلوبی بر درصد و سرعت جوانهزنی خواهد داشت. علت
۲۱ کاهش سرعت جوانهزنی در شرایط تنفس خشکی را می‌توان به کاهش سرعت فعالیت‌های متابولیکی بذر، کاهش ترشح
۲۲ هورمون‌ها و فعالیت آنزیم‌ها، در اثر اختلال در جذب آب توسط بذر نسبت داد، در نتیجه مدت زمان خروج ریشه‌چه از بذر
۲۳ افزایش یافته و سرعت جوانهزنی کاهش می‌یابد (Khakshor Moghadam et al., 2011).

۲۴ بر اساس مطالعه‌ای بر روی علف‌هرز مهاجم خربزه وحشی (*Cucumis melo*) با کاهش پتانسیل آب، سرعت و درصد
۲۵ جوانهزنی کاهش یافت (Sohrabi et al., 2011). بدین صورت که، سرعت و درصد جوانهزنی خربزه وحشی در دمای ۳۵ درجه سانتی‌گراد و مگاپاسکال،
۲۶ بیشترین سرعت و درصد جوانهزنی مشاهده شده است. در حالی که در دماهای ۳۵ درجه سانتی‌گراد و تنفس خشکی ۰/۶- مگاپاسکال،
۲۷-۰/۲ در پتانسیل اسمزی ۰/۶- مگاپاسکال، درصد و سرعت جوانهزنی کمترین میزان جوانهزنی را نشان دادند. کارزونی منفرد و همکاران (Kazerooni-
۲۸ Kazerooni et al., 2013) در مطالعه‌ای به بررسی اثر دما و پتانسیل اسمزی بر جوانهزنی گل جالیز مصری (*Orobanche*)
۲۹ انجام دادند، گزارش کردند که با کاهش پتانسیل اسمزی، درصد جوانهزنی و دامنه دمایی مطلوب جوانهزنی بذور
۳۰ گل جالیز مصری به طور معنی‌داری کاهش یافت. همچنین، کاهش پتانسیل اسمزی موجب تأخیر در شروع، متوسط و حداکثر
۳۱ زمان جوانهزنی شد. در مطالعه‌ای دیگر درصد جوانهزنی گیاه خرفه (*Portulaca oleracea* L.) تا پتانسیل ۷۵/۰- مگاپاسکال
۳۲

۱ تفاوت معنی داری با تیمار شاهد نداشت و پس از آن روند کاهشی نشان داد و سرعت جوانه زنی آن نیز تا پتانسیل ۵/۰-
 ۲ مگاپاسکال تغییر معنی داری نداشته است (Rahimi and Kafi, 2009).

پتانسیل آب



شکل ۱. اثر دما و پتانسیل آب بر درصد و سرعت جوانه زنی شمعدانی وحشی (*Geranium robertianum*)

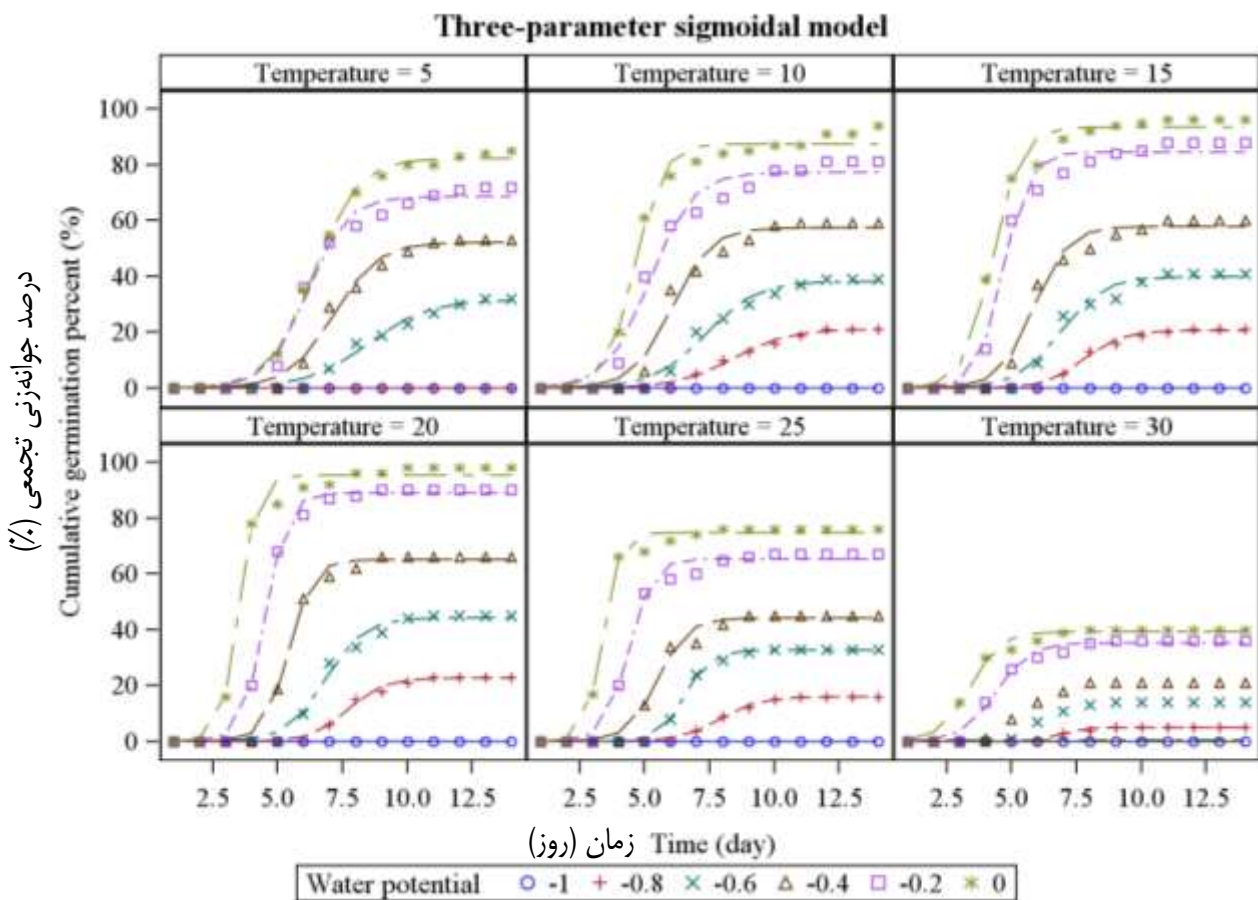
Figure 1. Effect of temperature and water potential on the germination percentage and germination rate of Herb-robert (*Geranium robertianum*)

تکاسی و همکاران (Takasi et al., 2009) در مطالعات خود روی کاهوی وحشی (*Lactuca serriola*) بیان کردند که با کاهش پتانسیل آب، درصد جوانه زنی در همه دماها کاهش یافته است. همچنین، نتایج آنها نشان داد که با کاهش پتانسیل

آب، دامنه دمایی که این گونه قادر به جوانهزنی می‌باشد نیز کاهش می‌یابد. نتایج تحقیق کارزنی منفرد و همکاران (Kazerooni-Monfared et al., 2013) نیز نشان داد که با کاهش پتانسیل آب از صفر به -1 مگاپاسکال، دامنه دمایی جوانهزنی بذر گل جالیز مصری از ۴۴ درجه سانتی گراد به ۲۰ درجه سانتی گراد کاهش یافت. نامبردگان دریافتند که دمای حداقل درصد جوانهزنی گل جالیز با کاهش پتانسیل آب، کاهش یافت و از ۳۵ درجه سانتی گراد در پتانسیل صفر به ۳۰ درجه سانتی گراد در پتانسیل -1 مگاپاسکال رسید.

روند تغییرات درصد جوانهزنی تجمعی شمعدانی وحشی

نتایج نشان داد که مدل سه پارامتره لجستیک برآذش قابل قبولی به روند تغییرات درصد جوانهزنی تجمعی شمعدانی وحشی در طی زمان برای دماها و پتانسیل‌های مختلف داشت (شکل ۲).



شکل ۲. برآذش مدل رگرسیون سه پارامتره لجستیک به روند تغییرات درصد جوانهزنی تجمعی شمعدانی وحشی (*Geranium robertianum*)

Figure 2. Fitting the logistic three-parameter egression model to the cumulative germination trend of *Geranium robertianum*

بررسی پارامترهای این مدل نشان داد که در پتانسیل‌های مختلف آب، حداکثر جوانهزنی شمعدانی وحشی در محدوده دمایی ۱۵ تا ۲۰ درجه سانتی‌گراد است. نتایج نشان داد که، در هر پتانسیل اسمزی، با افزایش دما، زمان رسیدن به ۵۰ درصد جوانهزنی کاهش می‌یابد. از سوی دیگر، با افزایش پتانسیل اسمزی، این زمان افزایش می‌یابد که بیانگر کاهش سرعت جوانهزنی می‌باشد. به طور کلی، زمان رسیدن به ۵۰ درصد جوانهزنی تا پتانسیل‌های $4/0$ - $4/0$ مگاپاسکال از ۶ روز شروع و به ۳ روز کاهش یافت. در حالی که در پتانسیل‌های بالاتر ($6/0$ - $8/0$ مگاپاسکال) در محدوده ۶ تا ۸ روز متغیر است (شکل ۲). این نتایج بیانگر این است که در محدوده دمایی ۱۵ تا ۲۰ درجه سانتی‌گراد در هر پتانسیل آب، قدرت جوانهزنی شمعدانی وحشی افزایش می‌یابد. بر اساس نتایج این آزمایش، در پتانسیل اسمزی ۱- مگاپاسکال هیچ جوانهزنی رخ نداده است (جدول ۲).

جدول ۲. اثر دما و خشکی بر روند درصد جوانهزنی تجمعی شمعدانی وحشی (*Geranium robertianum*) و پارامترهای حاصل از برآذش مدل لجستیکی سه پارامتره

Table 2. Effect of temperature and water potential on the cumulative germination percentage of *Geranium robertianum* and parameters resulted from the three-parameter logistic model

				زمان رسیدن به ۵۰ درصد جوانهزنی	شیب	P value	ضریب تبیین
	Water potential (Mpa)	Temperature (C°)	Final germination (%)	Time to reach 50 % of the germination (Day)	Slope		R ²
0	5		82.13 (1.056)	6.39 (0/072)	0.84 (0/062)	0.001	0.95
	10		87.34(1.376)	4.63 (0/084)	0.54 (0/071)	0.002	0.93
	15		93.33 (1.571)	4.27 (0/091)	0.53 (0/079)	0.001	0.96
	20		95.23 (1.194)	3.52 (0/063)	0.33 (0/041)	0.005	0.94
	25		74.69 (0.744)	3.38 (0/050)	0.31 (0/033)	0.001	0.95
	30		39.24 (0.635)	3.41 (0/095)	0.59 (0/082)	0.002	0.95
	35		0	0	0		
-0.2	40		0	0	0		
	5		68.507(1.540)	6/150(0.123)	0.75 (0.107)	0.001	0.96
	10		77.136(1.901)	5/206(0.149)	0.819(0.129)	0.001	0.94
	15		84.365(1.531)	4/684(0.092)	0/490(0.078)	0.005	0.04

	20	88.916(0.693)	4/528(0.038)	0/431(0.030)	0.005	0.95
	25	65.255(0.937)	4/387(0.073)	0/457(0.059)	0.003	0.95
	30	35.273(0.629)	4/407(0.103)	0/638(0.089)	0.001	0.96
	35	0	0	0		
	40	0	0	0		
-0.4	5	52.10 (1.174)	6.39 (0.120)	0.84 (0.102)	0.001	0.93
	10	57.37 (1.510)	6.05 (0.144)	0.73 (0/125)	0.001	0.94
	15	57.76 (1.288)	5.86 (0.118)	0.61 (0/103)	0.005	0.95
	20	65.04 (0.682)	5.43 (0.050)	0.46 (0/041)	0.005	0.93
	25	44.13 (0.907)	5.50 (0.107)	0.57 (0/091)	0.003	0.94
	30	22.61 (0.765)	5.70(0.23)	0.56 (0/0432)	0.001	0.96
	35	0	0	0		
-0.6	40	0	0	0		
	5	31.527(1.222)	8.48 (0.196)	8.48 (0.160)	0.005	0.95
	10	38.176(1.055)	7.34 (0.150)	0.98 (0.128)	0.005	0.95
	15	39.825(1.202)	6.88 (0.162)	0.82 (0.139)	0.001	0.04
	20	44.255(0.893)	6.85(0.104)	0.73 (0.090)	0.001	0.94
	25	32.631(0.325)	6.55 (0.045)	0.48 (0.037)	0.003	0.93
	30	20.143(0.321)	6.53 (0.0321)	0.41 (0.030)	0.001	0.93
-0.8	35	0	0	0		
	40	0	0	0		
	5	0	0	0		
	10	21.07 (0.612)	8.42 (0.145)	0.76 (0.079)	0.001	0.93
	15	20.54(0.397)	7.80 (0.908)	0.71 (0.078)	0.005	0.94
	20	22.64 (0.438)	7.71 (0.0901)	0.68 (0.077)	0.002	0.93
	25	15.99 (0.260)	7.98(0.773)	0.76 (0.066)	0.001	0.96
	30	4.92 (0.101)	6.91 (0.078)	0.38 (0.083)	0.002	0.96
	35	0	0	0		
	40	0	0	0		

* در پتانسیل اسمزی ۱- مگاپاسکال در هیچ یک از دماها، حوانهزنی مشاهده نشد. اعداد داخل پرانتز، خطای معیار میانگین هستند.

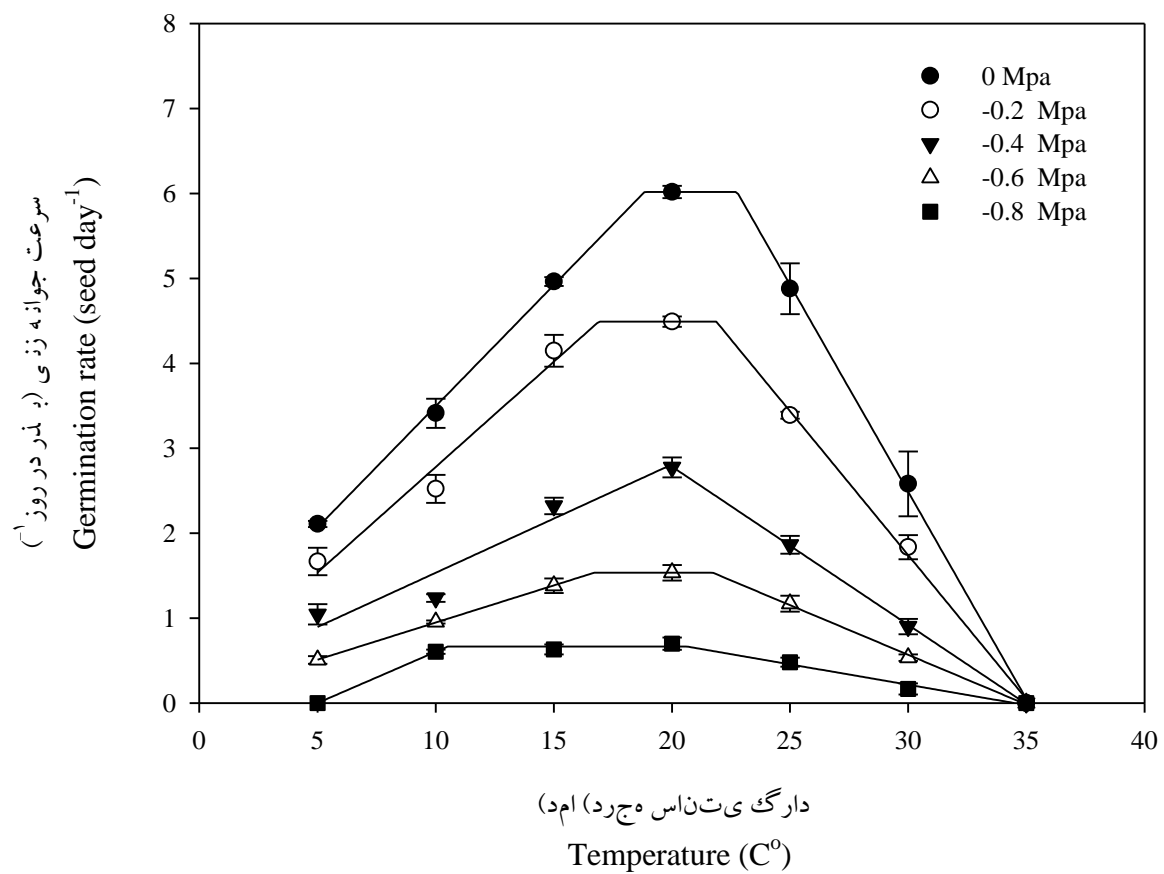
*There was no germination at water potential of -1 Mpa in none of temperatures. Numbers in the parenthesis are the standard error of mean.

زمان رسیدن به ۵۰ درصد جوانهزنی (بیانگر سرعت جوانهزنی) نیز با افزایش پتانسیل آب، افزایش یافت (جدول ۲). به عبارت دیگر، با افزایش تنفس خشکی، جوانهزنی در زمان‌های (روز) دیرتر رخ داد که به معنی کاهش سرعت جوانهزنی می‌باشد. بر اساس نتایج حاصل، در دمای ۱۰ درجه سانتی گراد با افزایش پتانسیل آب از صفر به ۰/۸- مگاپاسکال، این شاخص به ترتیب از ۴/۶۳ روز به ۸/۴۲ روز رسید (جدول ۲). در دمای ۲۰ درجه سانتی گراد شاخص مذکور به ترتیب از ۳/۵۲ به ۷/۷۱ روز افزایش یافت. به عبارتی سرعت جوانهزنی شمعدانی وحشی در محدوده دماهای بهینه جوانهزنی، افزایش یافته است. افزایش زمان رسیدن به ۵۰ درصد جوانهزنی تحت تاثیر تنفس آب در مطالعات دیگری نیز گزارش شده است (Sabouri Rad et al., 2013; Shirdel et al., 2016). همچنین مقایسه رفتار جوانهزنی شمعدانی وحشی در هر پتانسیل آب نشان داد که با افزایش دما تا ۳۰ درجه سانتی گراد، زمان رسیدن به ۵۰ درصد جوانهزنی کاهش یافت. به عبارت دیگر، با افزایش دما تحت پتانسیل آب، جوانهزنی سریع تر رخ داده است. این نتایج همسو با نتایج مطالعات دیانت (Diayanat, 2018) است.

در مطالعه‌ای دیگر رفتار جوانهزنی علف‌هرز کنجد شیطانی (*Cleome viscosa* L.) (از علف‌های هرز مشکل‌ساز مزراع سویای استان گلستان) تحت اثر دما و پتانسیل اسمزی مورد بررسی قرار گرفت (Shirdel et al., 2016). نتایج آن‌ها نشان داد که در دامنه دمایی مورد بررسی (۲۰ تا ۴۰ درجه سانتی گراد) با افزایش پتانسیل اسمزی علاوه بر کاهش قابل توجه درصد جوانهزنی، سرعت جوانهزنی (زمان لازم برای رسیدن به ۵۰ درصد جوانهزنی) کاهش یافت. همچنین، در نتایج آن‌ها، با منفی تر شدن پتانسیل آب، محدوده دمایی که این علف‌هرز قادر به جوانهزنی بود، کاهش یافت.

دماهای کاردینال جوانهزنی شمعدانی وحشی

بر اساس برآش مدل دندانه‌ای، دماهای کمینه، بهینه اول، بهینه دوم، و بیشینه شمعدانی وحشی در پتانسیل صفر (عدم تنفس اسمزی) به ترتیب ۱/۱۲، ۱۸/۸۳، ۲۲/۷۶ و ۳۵/۰۹ درجه سانتی گراد برآورد شدند (شکل ۳ و جدول ۳).



شکل ۳. برآزش مدل دندانه‌ای برای تعیین دماهای کاردینال جوانه‌زنی شمعدانی وحشی (*Geranium robertianum*) در سطوح مختلف پتانسیل اسمزی

Figure 3. Fitting the dent-like model to determining the cardinal temperatures of *Geranium robertianum* at various water potential

جدول ۳. دماهای کاردینال جوانهزنی شمعدانی وحشی (*Geranium robertianum*) براساس مدل دندانه‌ای در پتانسیل‌های مختلف آب

Table 3. Cardinal temperatures of *Geranium robertianum* germination based on the dent-like model in different water potentials

Water potential (Mpa)	پتانسیل آب (مگاپاسکال)	دماه کمینه (Base temperature)	دماه بهینه اول (Temperature of Optimum 1)	دماه بهینه دوم (Temperature of Optimum 2)	دماه بیشینه (Ceiling temperature)	R^2_{adj}	(Adjusted R^2)
0	1.12 (0.32)	13.83 (0.37)	22.76 (0.41)	35.09 (0.37)		0.99	
-0.2	1.73 (0.22)	6.90 (0.28)	21.88 (0.42)	35.13 (0.28)		0.98	
-0.4	2.13 (0.37)	19.92 (0.17)	20.05 (0.25)	35.70 (0.12)		0.97	
-0.6	2.98 (0.41)	16.70 (0.36)	21.73 (0.29)	34.28 (0.26)		0.99	
-0.8	4.96 (0.28)	10.56 (0.34)	20.63 (0.33)	34.48 (0.44)		0.99	

اعداد داخل پرانتزها، خطای معیار میانگین می باشند

Numbers in parentheses are the standard error of the mean

۱

۲ مطالعات در این ارتباط نشان از اختلاف معنی‌داری بین دماهای کاردینال جوانهزنی گیاهان مختلف بر اساس مدل‌های مختلف
۳ رگرسیونی دارد. برای مثال، در مطالعات حسینی و همکاران (Hoseini et al., 2008)، مدل دندانه مانند برای پیش‌بینی
۴ جوانهزنی ازمک (*Hordeum spontaneum* Koch.)، جودره (*Cardaria draba L.*) و جو موشی (*Hordeum murinum* L.) کارایی بهتری داشته است. عدالت و کاظمینی (Edalat and Kazemeini, 2013) دمای پایه، مطلوب
۵ و سقف گونه‌ای خاکشیر (*Sisymbrium altissimum*) را با استفاده از مدل بتا بترتیب ۸/۴، ۶/۸ و ۷/۱۱ درجه سانتی‌گراد
۶ گزارش نمودند. نژاد حسن (Nejadhasan, 2013) نیز دمای پایه، مطلوب و سقف جوانهزنی منداب (*Eruca sativa* Mill)
۷ را با استفاده از مدل بتا به ترتیب صفر، ۵/۳۸ و ۵/۳۰ درجه سانتی‌گراد برآورد نمودند. قادری فر و همکاران (Ghaderifar et al., 2012) از مدل دندان مانند برای برآورد دماهای کاردینال جوانهزنی بذر چاودار (*Secale cereale*) استفاده کردند و
۹ دمای پایه، مطلوب پایینی، مطلوب بالایی و سقف این گیاه را به ترتیب ۵۱/۳۴، ۵۱/۳۴، ۲۵، ۲۸/۳ و ۴۰ درجه سانتی‌گراد گزارش
۱۰ کردند. پورطوسی و همکاران (Poortousi et al., 2008) نیز دماهای کاردینال جوانهزنی برای گیاه سلمه تره (*Chenopodium album*) را به ترتیب ۲/۴، ۵/۳۹ و ۵/۳۹ درجه سانتی‌گراد گزارش کرده است. در مطالعه‌ای دیگر، بهترین مدل برای تعیین
۱۲ دماهای کاردینال جوانهزنی آویشن خراسانی (*Thymus transcaspicus* Kloko) مدل ۵ پارامتری بتا و خطوط متقطع برای توده بذری گزارش شده است (Tabrizi et al., 2007). مرادی و همکاران (Moradi et al., 2015) در بررسی
۱۴ تعیین دماهای کاردینال علف‌هرز خارشتر (*Alhagi pseudalhagi*) به این نتیجه دست یافتند که در بین مدل‌های برآش
۱۵ داده شده (خطوط متقطع، چندجمله‌ای درجه دوم و ۵ پارامتری بتا)، مدل ۵ پارامتری بتا بهترین مدل بود. در نتایج آن‌ها
۱۶ دماهای کمینه، بهینه و بیشینه جوانهزنی خارشتر به ترتیب در دامنه دمایی (۸/۸-۸/۷)، (۶/۳۰-۵/۲۷) و (۵/۴۰-۵/۴۲) درجه
۱۷

سانتی گراد گزارش شده است. در تحقیق دیگری نیز مدل های دندان مانند، مدل خطوط متقطع، ۴ پارامتره بتا و ۵ پارامتری بتا را برای پیش‌بینی جوانه‌زنی اویارسلام بذری (*Cyperus difformis*) با دقت قابل قبولی مورد استفاده قرار گرفته‌اند (Derakhshan and Gherekhloo, 2013). براساس مطالعه نامبردگان بین مدل‌های دندان‌مانند و دو تکه‌ای، اختلافی در برآورد دمای پایه مشاهده نشد اما مدل ۴ پارامتره بتا برآورد بسیار کمتری از دمای پایه داشت. آن‌ها دمای بیشینه اویارسلام را بین $44/92-45/03$ درجه سانتی گراد برآورد کردند. به منظور تعیین دماهای کاردینال از دو مدل تکه‌ای و چندجمله‌ای درجه دو برای پیش‌بینی جوانه‌زنی مارگریت (*Chrysanthemum maximum*) مورد استفاده قرار گرفته است (Hashemi et al., 2016). با توجه به نتایج آن‌ها، دمای پایه، بهینه و بیشینه مارگریت به ترتیب (۱۹ تا ۳ درجه سانتی گراد)، و (۲۳ تا ۲۳ درجه سانتی گراد) و (۴۳ تا ۵۹ درجه سانتی گراد) گزارش شد و مدل دو تکه‌ای نسبت به مدل چندجمله‌ای درجه دوم مدل مناسب‌تری بود و پیش‌بینی بهتری را نسبت به مدل درجه دوم دارد. درخشنan و قرخلو (Derakhshan and Gherekhloo, 2013) نیز مدل دندان مانند را به عنوان مدل برتر در برآورد روند جوانه‌زنی بذر علف قناری (*Phalaris minor*) گزارش نمودند و دماهای پایه، مطلوب و سقف جوانه‌زنی $4/69$ ، $22/6$ ، $29/62$ و $38/13$ درجه سانتی گراد برآورد کردند.

در مطالعه‌ای دماهای کاردینال جوانه‌زنی (دمای کمینه، بهینه و بیشینه) بی‌تی راخ (*Galium aparine L.*) و خردل وحشی (*Sinapis arvensis L.*) به عنوان دو علف‌هرز زمستانه مهم مزارع گندم و کلزای استان گلستان، به ترتیب $5/3$ و $5/7$ درجه سانتی گراد و $8/6$ ، $4/8$ و $11/7$ درجه سانتی گراد گزارش شده است (HajiAbaee et al., 2015). مقایسه این نتایج، با دماهای کاردینال شمعدانی وحشی به عنوان یکی دیگر از علف‌هرز زمستانه مزارع کلزا و گندم، نشان از تفاوت قابل توجهی دارد. به عبارت دیگر، جوانه‌زنی شمعدانی وحشی زودتر شروع می‌شود اما در دماهای بالاتر، دیرتر به اوج (بهینه) می‌رسد و دیرتر نیز کاهش می‌یابد. با توجه به نتایج مذکور، نظر به اینکه دماهای بهینه جوانه‌زنی دو علف‌هرز بی‌تی راخ و خردل وحشی کمتر از شمعدانی وحشی است، لذا زودتر از شمعدانی وحشی در مزارع ظهور پیدا می‌کنند. از طرف دیگر، کنترل دو علف‌هرز بی‌تی راخ و خردل وحشی با هر روشی و بر اساس اوج جوانه‌زنی آن‌ها، به دلیل بالا بودن دماهای بهینه شمعدانی وحشی، این علف‌هرز، غالباً می‌یابد،

نتایج تحقیق حاضر نشان داد که با افزایش پتانسیل آب (از صفر تا $8/0$ - مگاپاسکال)، دمای کمینه جوانه‌زنی از $1/12$ به $4/96$ درجه سانتی گراد افزایش یافت (جدول ۳). به عبارت دیگر با افزایش تنش خشکی، به دمای بیشتری برای تحریک جوانه‌زنی شمعدانی وحشی لازم است. همچنین، در همان محدوده پتانسیل آب، دمای بهینه اول جوانه‌زنی از $10/51$ به $18/83$ و دمای بهینه دوم جوانه‌زنی از $22/76$ به $20/63$ درجه سانتی گراد تغییر یافت (جدول ۳). به عبارت دیگر، دمای بهینه اول و دوم جوانه‌زنی به ترتیب افزایش و کاهش یافته است. این تغییرات به منزله کاهش دامنه دمایی مطلوب جوانه‌زنی شمعدانی وحشی تحت تأثیر تنش خشکی می‌باشد. دمای بیشینه جوانه‌زنی نیز در دامنه پتانسیل‌های بررسی شده (صفر تا $8/0$ - مگاپاسکال) از $35/09$ به $34/48$ درجه سانتی گراد، کاهش جزئی نشان داده است (جدول ۳). از این رو، به طور کلی می‌توان نتیجه‌گیری کرد که، تنش خشکی بیشتر بر روی دمای کمینه و بهینه جوانه‌زنی شمعدانی وحشی اثر گذار بوده است. تحلیل کلی نتایج حاکی از آن است که تا پتانسیل‌های متوسط ($6/0$ - مگاپاسکال) بالاترین سرعت جوانه‌زنی در محدوده دمایی 17 تا 22 درجه سانتی گراد و در بالاترین پتانسیل ($8/0$ - مگاپاسکال) در محدوده دمایی 10 تا 20 درجه سانتی گراد اتفاق افتاده است (جدول ۳).

نتایج سایر تحقیقات نیز حاکی از اثر معنی‌دار پتانسیل آب بر تغییرات دماهای کاردینال جوانه‌زنی دارد. به طور مثال، نتایج سلطانی و همکاران (Soltani et al., 2013) بر خردل وحشی نشان داده است که با افزایش پتانسیل آب از صفر تا $-0/6$ مگاپاسکال دمای کمینه، بهینه و بیشینه جوانه‌زنی به ترتیب از $2/89$ ، $1/91$ ، $23/18$ تا $23/19$ و $35/01$ درجه سانتی گراد تغییر یافته است. بر اساس گزارش نامبردگان، دمای کمینه و بیشینه خردل وحشی به ترتیب افزایش و کاهش و دمای بهینه آن تغییر جزئی یافته است. در تحقیق دیگر، سلطانی و همکاران (Soltani et al., 2014)، نشان دادند که با افزایش تنش اسمزی تا $8/0$ - مگاپاسکال، دمای کمینه افزایش و دماهای بهینه و بیشینه جوانه‌زنی کلزای خودرو (*Brassica napus* L.) کاهش یافته اند. بر اساس گزارش نامبردگان، دماهای مذکور کلزای خودرو به ترتیب از $2/03$ به $6/68$ و $26/98$ تا $20/66$ و $41/48$ به $33/33$ درجه سانتی گراد تغییر یافته است.

نتیجه‌گیری

با توجه به نتایج حاصل از این پژوهش شمعدانی وحشی از دمای کمینه جوانه رنی پایینی ($1/12$ درجه سانتی گراد) برخوردار است لذا در مدیریت آن با استفاده از رهیافت تاریخ کاشت، بایستی تا حد امکان از کاشت زود هنگام کلزا (با دمای بهینه جوانه‌زنی بیشتر) و سایر گیاهان زراعی مشابه آلوده به آن خودداری کرد تا از برتری سبز شدن زودهنگام این علف‌هرز ممانعت شود. با توجه به افزایش درصد جوانه‌زنی این علف‌هرز در دامنه دمایی 15 تا 20 درجه سانتی گراد و افزایش سرعت جوانه‌زنی در دمای 20 درجه سانتی گراد، عملیات کنترل این علف‌هرز در این دماها انجام پذیرد. همچنین، نتایج نشان داد که با افزایش تنش اسمزی (از صفر تا $8/0$ - مگاپاسکال)، دماهای کمینه، دمای بهینه اول، دمای بهینه دوم و دمای بیشینه جوانه‌زنی به ترتیب از $1/12$ تا $4/96$ ، $10/51$ ، $18/83$ و $22/76$ تا $35/09$ درجه سانتی گراد تغییر یافت. به عبارتی، با افزایش تنش خشکی، محدوده دمایی مطلوب برای جوانه‌زنی کاهش یافته است. از این رو، با توجه با کاهش جوانه‌زنی و افزایش دمای کمینه جوانه‌زنی تحت تنش‌های اسمزی، استفاده از ارقام گیاهان زراعی متتحمل به خشکی می‌تواند مورد توجه قرار گیرد. به طور کلی، شمعدانی وحشی در محدوده دمایی 17 تا 22 درجه سانتی گراد از تحمل بیشتری به تنش‌های خشکی متوسط (تا $6/0$ - مگاپاسکال) برخوردار است و با افزایش تنش خشکی، در دماهای کمتر (10 تا 20 درجه سانتی گراد) متتحمل است و پیشنهاد می‌شود در مطالعات آتی از این نتایج در راستای امکان مدیریت شمعدانی وحشی توجه شود.

سپاسگزاری

از معاونت پژوهش و فناوری دانشگاه فردوسی مشهد بابت حمایت مالی از این تحقیق، تقدیر و تشکر می‌شود.

1. Alvarado, V., & Bradford, K.J. (2002). A hydrothermal time model explains the cardinal
2 temperatures for seed germination. *Plant, Cell and Environment*, 25(8), 1061-1069.
3. Amayun, M., Khan, S.A., Shinwari, Z.K., Khan, A., Ahmad, N., & Lee, I.J. (2010). Effect
4 of polyethylene glycol induced drought stress on physio-hormonal attributes of soybean.
5 *Pakistan Journal of Botany*, 42, 977-986.
6. Ashraf, M., & Harris, P.J.C. (2004). Potential biochemical indicators of salinity tolerance
7 in plants. *Journal of Plant Science*, 166: 3–16.
8. Bradford, K.J. (2002). Application of hydrothermal time to quantifying and modeling seed
9 germination and dormancy. *Journal of Weed Science*, 50(2), 248-260.
10. Buhler, D.D. (2000). Theoretical and practice challenges to an IPM approach to weed
11 management. *Journal of Weed Science*, 48(3), 274-280.
12. Chachalis, D., & Reddy, K.N. (2000). Factors affecting *Campsis radicans* seed
13 germination and seedling emergence. *Journal of Weed Science*, 48, 212–216.
14. Chauhan, B.S., Gill, G., & Preston, C. (2006). Factors affecting seed germination of annual
15 sowthistle (*Sonchus olevaceus*) in southern Australia. *Journal of Weed Science*, 54, 854-
16 860.
17. Chejara, V.K., Kristiansen, P., Whalley, R.D.B., Sindel, B.M., & Nadolny, C. (2008).
18 Factors affecting germination of Coolatai grass (*Hyparrhenia hirta*). *Journal of Weed
19 Science*, 56,543–548.
20. Copeland, L.O., & Mc Donald, M.B. (1995). Principles of seed science and technology.
21 Pub. Chmpaa and Hall. USA.
22. , M.d., and Cornu, D. 1992. Maturation and germination of walnut somatic embryos. *Plant
Cell, Tissue and Organ Culture*. 28: 195-202.
23. Derakhshan, A., and Gherekhloo, J. (2013). Factors affecting *Cyperus difformis* seed
24 germination and seedling emergence. *Planta Daninha*, 31, 823-932.
25. Diayanat, M. (2018). Effect of Temperature and Drought Stress on Germination of Slender
26 Amaranth (*Amaranthus viridis* L.) and Prostrate Pigweed (*Amaranthus blitoides* S.
27 Watson) Seeds. *Journal of Plant Protection*, 31(4): 690-699. (In Persian with English
28 abstract)
29. Diayanat, M. (2019). Prediction of cardinal temperature by nonlinear regression models in
30 carrot (*Daucus carota* L.) and its three common weed species. *Iranian Journal of Seed
31 Science and Technology*, 8(1): 175-184. (In Persian with English abstract)
32. Edalat, M., & Kazemeini, S.A. (2013). Estimating cardinal temperatures of tumble mustard
33 (*Sisymbrium altissimum*) and slender foxtail (*Alopecurus myosuroides*) seed germinations.
34 The 5th Iranian Weed Science Congress. Tehran University. Pp: 280-283. (In Persian with
35 English abstract)
36. Ghaderifar, A., Alimaghams, S.M., Rezaee Moghadam, H.V., & Haghghi, M. (2012).
37 Effects of environmental factors on germination and emergence of rye crops in wheat fields
38 as wild plant. *Electronic Journal of Crop Production*, 5(4): 133-121. (In Persian with
39 English abstract)
40. HajiAbaee, H., Rahimian Mashhadi, H., Haqiqi, A., & MohammadAmin Qassaam, M.A.
41 (2015). Assessing the cardinal temperature for the germination of *Galium aparine* L. and
42 *Sinapis arvensis* L. The 6 th iranian weed science congress. Birjand. 21-23 September. P
43 51-55. (In Persian with English abstract)

- 1 17. Hashemi, A., Barooti, SH., & Tavakol Afshari, R. (2016). Determine the cardinal
2 temperatures of seed germination in *Chrysanthemum maximum*. Iranian journal of seed
3 science and technology. 2: 77-84. (In Persian with English abstract)
- 4 18. Hejazi, A. 1994. Seed technology. Tehran university press. 345 p. (In Persian with English
5 abstract)
- 6 19. Hoseini, M., Mojtaba, M., & Zamani, Gh. (2012). Evaluation wild barley (*Hordeum*
7 *spontaneum* Koch.) barley grass (*Hordium murinum* L.) and hoary cress (*Cardaria draba*
8 L.) germination in different temperatures. p. 108. In proceeding 4 th Iranian Weed Science.
9 Congress., 6-7 February, 2004. Ahvaz, Iran. (In Persian with English abstract)
- 10 20. Jami-Al_Ahmadi, M., & Kafi, M. (2007). Cardinal temperature for germination of (*Kochia*
11 *scoparia* L.). Journal of Arid Environments, 68(2), 308-314.
- 12 21. Kamkar, B., Ahmadi, M., Soltani, A., & Zeinali, E. (2008). Evaluating non-linear
13 regression models to describe response of wheat emergence rate to temperature. Seed
14 Science and Technology, 2: 53-57. (In Persian with English abstract)
- 15 22. Kamkar, B., Jami Al-Ahmadi, M., & Mahdavi-Damghani, A. (2012). Quantification of the
16 cardinal temperatures and thermal time requirement of opium poppy (*Papaver somniferum*
17 L.) seeds germinate using non-linear regression models. India Crop Production, 3, 192-
18 198.
- 19 23. Kazerooni-Monfared, A., Takasi, S., Banaeeian, M., Ghanbari, A., Rahimian Mashadi, M.,
20 & Pernilson, K. (2013). Effects of temperature and osmotic potential on the seed
21 germination of *Orobanche aegyptiaca*. Journal of Applied Research of Plant
22 Ecophysiology, 1(1): 33-50. (In Persian with English abstract)
- 23 24. Keshavarzi , M., Taghipour , E., & Najafian, E. (2013). Morphological study of pollens of
24 some weedy *Erodium* species, in Iran. The 5 th iranian weed sceince congress. Tehran.
25 September. P 354-356. (In Persian with English abstract)
- 26 25. Khakshor Moghadam, Z., Lahouti, M., & Ganjali, A. (2011). Effects of drought Stress
27 Induced by Polyethylene Glycol on Germination and Morphophysiological Characteristics
28 of Dill (*Anethum graveolens* L.) Journal of Horticultural Science. 25 (2): 185-193. (In
29 Persian with English abstract)
- 30 26. Kiyani, E. (2014). The effect of some environmental factors on seed germination of
31 morning glory (*Ipomoea* spp.). M.Sc. Thesis. Azad University of Gorgan, Iran. 111 p. (In
32 Persian with English abstract)
- 33 27. Maguire, J.D. (1962). Seed of germination – aid in selection and evaluation for seedling
34 emergence and vigour. Journal of Crop Science, 2, 176-177.
- 35 28. Mahmoodi, A., Soltani, E., & Barani, H. (2008). Germination response to temperature of
36 snail medic (*Medicago scutellata* L.). Iranian Society of Agronomy and Plant Breeding,
37 1(1): 54-63. (In Persian with English abstract)
- 38 29. Michel, B.E., & M.R. Kaufmann. (1973). The osmotic potential of polyethylene glycol
39 6000. Plant Physiol. 51: 914-916.
- 40 30. Moradi, A., Ghanbari, A., Rashedmohasel, M.H., & Izadi darbandi, A. (2015).
41 Determination of the cardinal temperatures of *Alhagi pseudalhagi*. Journal of Plant
42 Protection, 29(2): 283-290. (In Persian with English abstract)
- 43 31. Nejadhasan, B. (2013). Effect of some environmental factors on seed germination of
44 Arugula (*Eruca sativa* Mill). Msc Thesis on Agronomy, Gorgan University of Agricultural
45 Science and Natural Resources. 102 p. (In Persian with English abstract)

- 1 32. Nosratti, I., Amiri, S., Bagheri, A., & Chauhan, B.S. (2017). Environmental Factors
2 Affecting Seed Germination and Seedling Emergence of Foxtail Sophora (*Sophora*
3 *alopecuroides*). *Journal of Weed Science*, 66 (1): 71-77.
- 4 33. Oliveira, M.J. & Norsworthy, J.K., (2006). Pitted Morningglory (*Ipomoea lacunosa*)
5 germination and emergence as affected by environmental factors and seeding depth.
6 *Journal of Weed Science*, 54(5), 910-916.
- 7 34. Poortousi, N., Rashed Mohasel, M.H., & Ezadi Darbandi, E. (2008). Germination
8 characteristics and cardinal temperature of lambsquarter, purslane and crabgrass. *Iranian*
9 *Journal of Field Crops Research*, 6(2): 255-261. (In Persian with English abstract)
- 10 35. Rahimi, Z., & Kafi, M. (2009). Effect of different levels of drought on germination
11 characteristics of Purslane (*Portulaca oleracea L.*). *Journal of environmental stresses in*
12 *Agricultural Science*, 2(1): 87-91. (In Persian with English abstract)
- 13 36. Ray, J., Creamer, R., Schroeder, J., & Murray, L. (2005). Moisture and Temperature
14 requirements for London rocket (*Sisymbrium irio*) emergence. *Journal of Weed Science*,
15 53, 187-192.
- 16 37. Riemens Scheepens, P.C., & Vander Weide, R.Y. (2004). Dormancy, germination and
17 emergence of weed seeds, with emphasis on influence of light. *Plant Research*
18 *International*, 302, 1-12.
- 19 38. Rizzardi, M.A., Luiz, A.R., Roman, E.S., & Vargas, L. (2009). Effect of cardinal
20 temperature and water potential on morning glory (*Ipomoea triloba*) seed germination.
21 *Planta Daninha*, 27(1), 13-21.
- 22 39. Sabouri Rad, S., Kafi, M., Nezami, A. & Bannayan Aval, M. (2012). Study on seed
23 germination behavior of Kochia scopariaL. Schard in response to temperature and water
24 potential. *Iranian journal of Range and Desert Reseach*. 18 (4): 578-592. (In Persian with
25 English abstract)
- 26 40. Shirdel, M., Siahmarguee, A., & Yones-Abadi, M. (2016). The Effect of Temperature and
27 Water Potential on Seed Germination of Asian spiderflower (*Cleome viscosa L.*): As
28 Invasive Weed in Soybean Fields in Golestan Province. *Journal of Plant Protection*, 3(2):
29 292-303. (In Persian with English abstract)
- 30 41. Sohrabi, S., Ghanbari, A., Rashed Mohasel, M.H., Nasiri Mahalati, M., & Gharekhloo, J.
31 (2011). Effect of temperature, drought and salinity on the seed germination of invasive
32 weed wildmelons (*Cucumis melo*). The 4th weed science congress of Iran. Khozestan, Pp:
33 259-261. (In Persian with English abstract)
- 34 42. ,S ,SohrabiGherekhloo, J., & Rashed Mohassel, M.H. (2017). Plant invasion and invasive
35 weeds of Iran. *Jahad Daneshgahi of Mashhad*.
- 36 43. Soltani, E., Oveisi, M., Soltani, A., Galeshi, S. Ghaderi-Far, F., & Zeinali, E. (2014). Seed
37 germination modeling of volunteer canola as affected by temperature and water potential:
38 hydrothermal time model. *Weed research journal*. 6 (1): 23-38.
- 39 44. Soltani, E., Soltani, A., Galeshi, S. Ghaderi-Far, F., and & Zeinali, E. (2013). Seed
40 germination modeling of wild mustard (*Sinapis arvensis L.*) as affected by temperature and
41 water potential: hydrothermal time model. *Journal of Plant Production*, (1): 19-33.
- 42 45. Taassob-Shirazi, M., Forouzesh, S., Zare, A., & Rahimian-Mashhsdi, H. (2013).
43 Germination phonology of invasive plant (*Amsinckia menziesii*). The 5th Iranian Weed
44 Science Congress, Tehran University. Pp: 448-451. (In Persian with English abstract)
- 45 46. Tabrizi, L., Koocheki, A., Nassiri Mahallati, M., & Rezvani Moghaddam, P.
46 (2007).Germination behaviour of cultivated and natural stand seeds of Khorasan thyme

- (*Thymus transcaspicus* Klokov) with application of regression models. Iranian Journal of Field Crops Research, 4(2): 249-257. (In Persian with English abstract)
47. Takasi, S., Al-Ebrahim, M.T., Kazeroni-Monfared, A., & Rashed Mohasel, M.H. (2009). Effect of temperature, light, flooding and plant in depth on germination percentage of wildlettuce weed (*Lactuca serriola*). The 3th Weed Science Congress, Babolsar. Pp: 33-36. (In Persian with English abstract)
48. Torabi, B. (2003). Prediction of physiological development stages in chickpea. M.Sc. thesis in Agronomy. Gorgan University of Agriculture and Natural Sciences. (In Persian with English abstract)
49. Zahed, S., Gherekhloo, J., & Baqrany, N. (2013). Prostrate spurge seed germination response to salinity and drought caused by various concentrations of poly ethylene glycol 6000. The 5 th Iranian weed science congress. Tehran. September. P 476-479. (In Persian with English abstract)
50. Zare, A., Deris, F., Z. & Karimi, Z. (2021). Influence of environmental factors on seed germination characteristics of invasive weed yellow starthistle (*Centaurea solstitialis*). Iranian Journal of Seed Science and Technology. 9 (4): 111-122. (In Persian with English abstract)
51. Zhou, J., Tao, B., Deckard, E.L., & Messersmith, C.G. (2006). Garden huckleberry (*Solanum melanocerasum*) germination, seed survival, and response to herbicides. Journal of Weed Science, 54, 478-483.

Effect of Temperature and Drought Stress on Germination Characteristics and Determination of Cardinal Temperatures of Invasive Weed Herb-Robert (*Geranium robertianum* L.)

Extended abstract

Introduction: Seed germination is the first and most important stage of plant establishment and subsequent successful competition, which is affected by genetic and environmental factors. Temperature and soil water potential are the most important environmental factors. Knowledge of environmental factors controlling seed germination provides the possibility of predicting weed infestation. By obtaining information about the temperature and moisture requirements of weeds, it is possible to manage them successfully. In recent years, the weed of herb-robert has been raised as an invasive weed in rapeseed fields in Mazandaran and Golestan provinces. To investigate the relationship between temperature and germination rate, various cardinal models such as dent-like, segmented, and beta have been used. The purpose of this research is to determine cardinal temperatures in herb-Robert and investigate the role of temperature and drought stress on some of its germination characteristics.

Materials and methods: To investigate the effect of temperature and drought stress on herb-Robert (*Geranium robertianum* L.) seed germination, the present study was conducted. This experiment was factorial in the form of a completely randomized design with 8 levels of constant

temperature (5, 10, 15, 20, 25, 30, 35, 40 °C) and drought stress in 6 levels (-0.2, -0.0, -0.6, -0.8, -1 MPa) were performed in 4 replications. Germinated seeds were counted up to 14 days after germination. Then indicators such as percentage, germination rate and time to reach 50% germination were calculated. A dent-like regression model was used to determine the cardinal temperature.

Findings: The results showed that the constant temperature of 20°C has the highest percentage (98%) and germination rate (6.019) in non-stress conditions (zero water potential). Also, germination was stopped at temperatures of 35 and 40 °C. The three-parameters regression model had good accuracy to describe the trend of cumulative seed germination percentage of herb-Robert. The results also showed that with the increase of drought stress, the percentage and rate of germination decreased and at potentials higher than -0.8 MPa, germination stopped. At zero potential (non-stress conditions), the minimum, first optimum, second optimum and maximum temperatures were determined as 1.12, 18.83, 22.76 and 35.09 °C, respectively. With an increase from zero to water potential up to -0.8 MPa, minimum temperature from 1.12 to 4.96, optimal temperatures from 18.83 to 22.76 to 10.51 to 20.63 and maximum temperature from 35.09 changed to 34.48 °C.

Conclusion: Based on the results of this study, the highest percentage and rate of seed germination occurred at 20°C. There was no seed germination at temperatures of 35 and 40 °C and water potential of -1 MPa. With the increase of water potential, the minimum temperature increased, the optimal temperatures decreased and the maximum temperature decreased slightly. In general, due to the low minimum temperature, the probability of germination and outbreak of this weed will be higher in colder seasons.

Keywords: Dent-like model, Germination rate, Optimal temperature.